

## PC版の応力開放法による有効プレストレス量の推定

九州工業大学

学生会員 松尾 明武

九州工業大学

正会員 幸左 賢二

大日本コンサルタント(株)

正会員 清水 英樹

西日本高速道路株式会社

正会員 福永 靖雄

### 1.はじめに

今回対象とする閑門トンネルPC天井版は、昭和32年竣工と、PC構造の創生期に造られた構造物である。著者らは、竣工後53年の長期間に渡って海水の漏水や排気ガスに曝された薄いPC版構造が保有している有効プレストレス量の評価を実施している。ここでは特に、薄いPC構造において、コア削孔による有効プレストレス推定方法の適用性について述べる。

### 2.実験概要

PC天井版の形状を図-1に示す。PC天井版は長さ3275mm、幅495mm、厚さ60mmで1枚の重量が約250kg、断面下側にφ2.9mmのPC鋼線が16本、上側に同鋼線が5本、プレテンション方式で配置され、φ3.2mmの丸鋼がPC鋼線を取り囲むように配置されている。また、PC天井版のコンクリートの設計強度は、50N/mm<sup>2</sup>で、実測した弾性係数の平均値は37500N/mm<sup>2</sup>である。また、PC鋼線の初期緊張力の設計値は、設計降伏強度の約86%で1372N/mm<sup>2</sup>である。本研究で推定する有効プレストレスは、PC鋼線の初期緊張力から、クリープ・乾燥収縮・リラクゼーション・その他劣化要因を考慮に入れたPC鋼材の有効引張応力である。

コア削孔は、図-2に示すようにPC天井版-No.1～5の5体よりコアφ100mmを6本、φ66mmを4本採取した。2つの削孔径で実施した理由はPC天井版が厚さ60mmと非常に薄いことから、採取コアのアスペクト比の違いに着目したものである。また、PC天井版-No.1, 2, 4, 5は下面から上面に向かって、PC天井版No.3は上面から下面に向かって削孔した。削孔する際には削孔深さ1mm増加する毎にひずみを計測して、削孔深度と応力開放量に着目している。

### 3.実験結果

図-3に削孔パラメータと結果概要を示す。それぞれの削孔方法で開放されるひずみの傾向が異なっている。削孔方法-Aは、計測ひずみのばらつきが大きく、ひずみが開放されなかった。また、削孔方法-Bは計測ひずみのばらつきも見られ、開放されるひずみ量が少なかった。削孔方法-Cでは、削孔方法-A,Bと比べて計測方法が難しく計測できないことがあるが、計測ひずみのばらつきが少なく、開放されるひずみ量も大きい。

ひずみ変化量から有効プレストレスを推定したものを表-1に示す。削孔方法-Aについては-0.18, 1.46などと比率が、0前後や1を超えるもののみで信頼性に欠ける。また削孔方法-Bでは、上

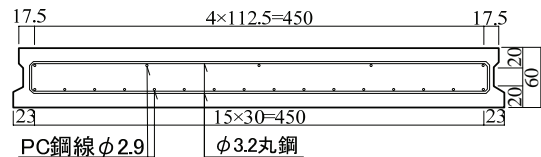


図-1 PC天井板断面図

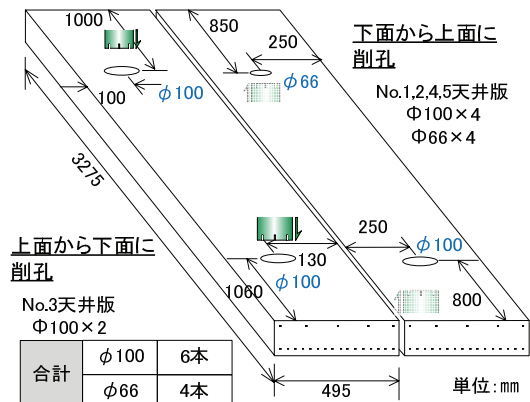


図-2 削孔位置概要図

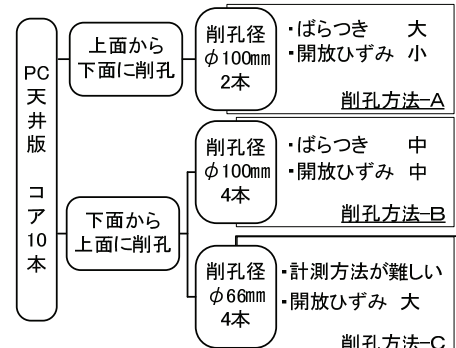


図-3 削孔パラメータと結果概要

表-1 推定有効プレストレス

削孔方法-A							
PC天井版	比率	評価	比率	評価			
No.3	上面	-0.18	×	1.46	×		
	下面	0.18	×	0.34	×		
削孔方法-B							
PC天井版	比率	評価	PC天井版	比率	評価		
No.1	上面	0.88	△	No.1	上面	計測不可	
	下面	0.54	△		下面		
No.2	上面	0.79	△	No.2	上面	0.66	△
	下面	0.38	△		下面	0.66	○
No.4	上面	0.03	△	No.4	上面	1.24	△
	下面	0.46	△		下面	0.64	○
No.5	上面	0.77	△	No.5	上面	-	×
	下面	0.45	△		下面	0.68	○

面の比率は 0.8 前後のものが多いが、0.03 のものもあり信頼性は中程度である。下面では 0.46

前後と安定しているが、比率は低い。削孔方法-C では、上面の比率は 0.66, 1.24 と実測値が 2 つであり信頼性が低い。下面では、3 つのコアがすべて 0.65 前後と、ばらつきも少ない。また、削孔方法-B, C より削孔径  $\phi 66 \text{ mm}$  は  $\phi 100 \text{ mm}$  と比べて 2 割程度高い値となっている。削孔径によって開放されるひずみ量に差が出ることが分かる。

図-4 に、それぞれの削孔方法における削孔深度とひずみ変化量の代表例を示す。初期導入ひずみ量を 1.00 とした場合の最終ひずみ変化量の比率を図-4 のグラフ上部に示す。図-4(A) より削孔方法-(A) では削孔前半、ほとんどひずみが開放されていないが 40 mm 前後でひずみが大きく変化しており、連続的に計測できていないことがわかる。また、図-4(B), (C) より、削孔深さ 10 mm 時において開放ひずみに差が生じている。前述したように削孔径によって差が生じていることが分かる。従って、今回の計測方法では PC 天井版の有効プレストレスは、 $\phi 66 \text{ mm}$  のコア削孔後直後の下面ひずみより初期導入量の 0.65 程度と推定される。

図-4(C) に示す①~③の削孔深度 10 mm と 20, 50 mm のひずみ変化のイメージを図-5 に示す。②より、削孔深度 10~20 mm の間に上面側では圧縮ひずみが増加して、下面側では引張ひずみが増加している。これは、下面側からコア削孔されることによって削孔されていない上面側に作用する圧縮量が増加して行き、下面側は圧縮力が作用しなくなることで、ひずみが開放され、上側圧縮、下側引張の曲げ挙動を示すためである。同様に削孔深度 50 mm (③) では、曲げ挙動が大きくなる。また、コアに作用する圧縮力を受ける面積が小さくなることで、コア全体として作用する圧縮力が小さくなり上下面側ともにひずみの絶対値が小さくなる。今回実験した PC 天井版-No.1, 2, 4, 5 は下面側から削孔することで曲げ作用によるひずみ変化を小さくできたと考えられる。以上より有効プレストレスをコア削孔前後のひずみ量の差により推定する場合は、初期導入ひずみ量が大きいと推定される側より小さな径のコアで抜く方が、比較的、信頼性のある計測が可能である。

#### 4.まとめ

PC 天井版のような PC 構造物において、コア削孔による有効プレストレス推定法の適用性について検討し、以下の結果が得られた。

1)PC 版を用いた応力開放法での有効プレストレスは、他の計測方法から推定される 0.8 程度に対して、0.7 程度と、小さめの値となつた。

2)応力開放法では、弾性係数を正確に推定する必要があること、削孔径の影響があり、測定手法によって有意差が生じる。

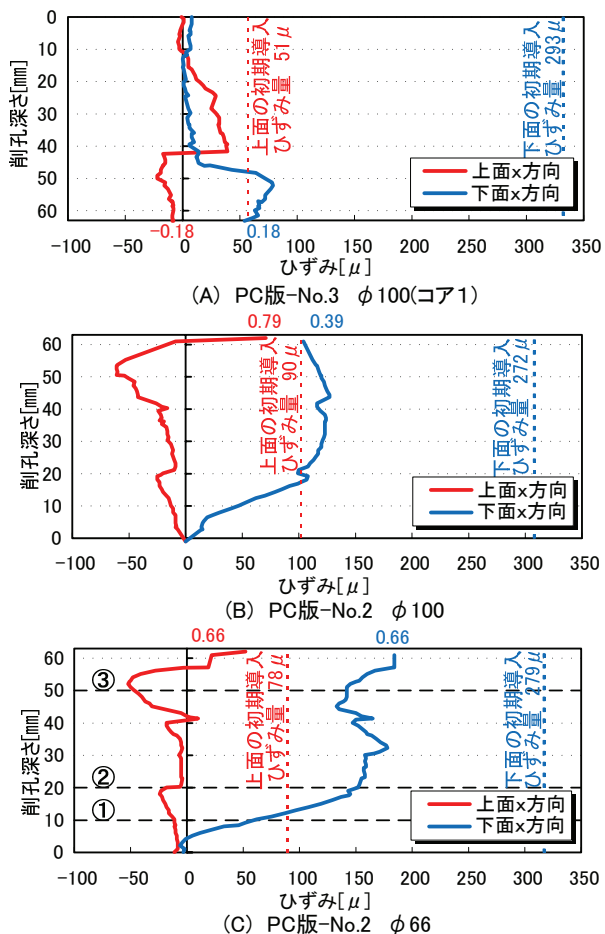


図-4 削孔深度とひずみ変化量

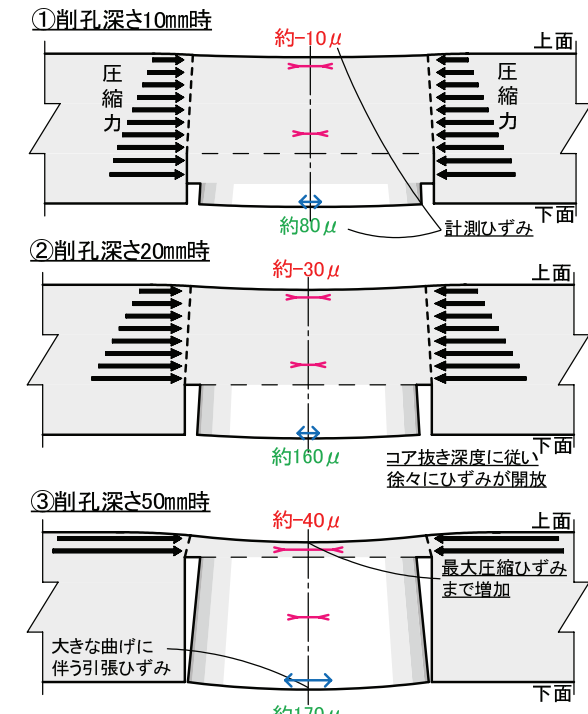


図-5 コア削孔中のひずみ変化イメージ